

UKJAES

University of Kirkuk Journal For Administrative and Economic Science

ISSN 2222-2995 University of Kirkuk Journal For Administrative and Economic Science



Abdulhadi Dalia Mahfood & Rasheed Husam Abdulrazzak. Kernel semi-parametric model improvement based on Opposition - based Learning in Golden Jackal Optimization Algorithm (Comparative Study). *University of Kirkuk Journal For Administrative and Economic Science* (2024) 14 (4):337-349.

Kernel semi-parametric model improvement based on Opposition - based Learning in Golden Jackal Optimization Algorithm (Comparative Study)

Dalia Mahfood Abdulhadi ¹, Husam Abdulrazzak Rasheed ²

(1,2) Mustansiriyah University/Faculty of Administration and Economics, Baghdad, Iraq

dalia.abdulhadi@uomustansiriyah.edu.iq husamstat@uomustansiriyah.edu.iq 2

Abstract: Recent research and studies show widespread interest in the subject of semiparametric regression model analysis, which combines parametric and nonparametric components. This interest is because it gives accurate and effective statistical model estimates. This paper proposes to improve estimates of semiparametric regression models using opposition-based learning technology in the golden Jackal Optimization algorithm to increase the accuracy of these models, accelerate convergence, and expand the exploration area. The effectiveness of using this algorithm was evaluated by comparing it with the most commonly used methods for estimating the model statistically such as CV and GCV. Using economic data, the results showed that the OBL-GJO algorithm in terms of accuracy and convergence speed outperforms the traditional methods of calculating the semiparametric nucleus regression model. Based on that, we will use two types of economic data: the first was taken from local sources and the second was taken from global sources because of its great impact on the economy and to clarify the process of improvement using the algorithm proposed in the models.

Abbreviations:

CV: Cross-Validation

GCV: Generalized Cross-Validation

GJO: Golden Jackal Optimization Algorithm

OBL-GJO: Opposition-Based Learning in Golden Jackal Optimization Algorithm

Keywords: Semiparametric Regression Model, Golden Jackal Optimization Algorithm,

Opposition-Based Learning Technology.



توظيف خوارزمية التعلم المعارض لابن أوى المحسنه في تحسين الأنموذج شبه المعلمي في الجانب الاقتصادي (دراسة مقارنه)

الباحثة: داليا محفوظ عبد الهادي ١، أ.م.د. حسام عبد الرزاق رشيد ٢

(١٠٢) قسم الإحصاء-كلية الإدارة والاقتصاد/الجامعة المستنصرية، بغداد، العراق

المستخلص: تظهر الأبحاث والدراسات الحديثة اهتماما واسع النطاق بموضوع تحليل أنموذج الانحدار شبه المعلمي، والذي يجمع بين المكونات المعلمية و اللامعلمية. ويعزى هذا الاهتمام إلى حقيقة أنه يعطي تقديرات دقيقة وفعالة للانموذج الإحصائي. يقدم هذا البحث مقترحا لتحسين تقديرات نماذج الانحدار شبه المعلمية باستخدام تقنية التعلم القائم على المعارضه في خوارزمية أبن أوى لزيادة دقة هذه النماذج وتسريع عملية التقارب, وتوسيع مساحة الاستكشاف. تم تقييم فعالية استخدام هذه الخوارزمية من خلال مقارنتها بالطرائق الأكثر استخداما لتقدير الأنموذج إحصائيا مثل CV و GCV. وباستخدام بيانات اقتصاديه حيث أظهرت النتائج أن خوارزمية OBL-GJO من حيث الدقة وسرعة التقارب تتقوق على الطرق التقليدية في حساب انموذج انحدار النواة شبه المعلمي. استناداً لذلك حيث الدقة وسرعة الثانية اخذت من البيانات الاقتصاديه ،الاولى اخذت من مصادر محلية والثانية اخذت من مصادر علية المقترحة في النماذج.

المصطلحات:

CV: Cross-Validation

GCV: Generalized Cross-Validation

GJO: Golden Jackal Optimization Algorithm

OBL-GJO: Opposition - based Learning in Golden Jackal Optimization Algorithm

الكلمات المفتاحية: انموذج الانحدار شبة المعلمي، خوارزمية ابن أوى الذهبي، التعلم المعارض.

 $Corresponding \ Author: \ E-mail: \underline{dalia.abdulhadi@uomustansiriyah.edu.iq}$

المقدمة:

تعد ظاهرة النمذجة أحد الأهداف الرئيسية لدراسة المشكلات أو الظواهر المختلفة ، بما في ذلك الظواهر الاقتصادية والهندسية والطبية وغيرها وإيجاد انموذج رياضي تمثل المدخل الرئيسي لفهم أنماط وسلوك هذه الظواهر وتحليل بياناتها ، حيث أنه في بعض الظواهر ، وخاصة الظواهر الاقتصادية ، لا يحقق الانموذج الذي يصف الظاهرة افتراضات الانموذج المعلمي مما يجعله غير متسق ، بحيث لا يتم تحديد الشكل الدالي للظاهرة في ظل غياب المعرفة حول الظاهرة المدروسة ، هناك العديد من الأسباب ، مثل أن التجربة تجري لأول مرة ، أو أنه لا يمكن تحديد العلاقة السببية بين المتغيرات أو شرح العلاقة بين متغير الاستجابة والمتغيرات التفسيرية بشكل كامل. وبالنسبة للأنموذج اللامعلمي، فهو يتمتع بمرونة عالية ولكنة يعاني من مشكلة لعنة الأبعاد ولعنة الأبعاد (المتغيرات) في البيانات بشكل كبير ، مما يؤدي إلى صعوبات في التحليل والتفسير ، وبما ان التقديرات في النماذج اللامعلمية تعتمد على البيانات المتاحة دون فرض افتراضات قوية حول شكل العلاقة بين المتغيرات، مما يجعلها حساسة لزيادة الأبعاد ويؤدي بذلك إلى مشاكل عدة في التحليل والنمذجة. مثال ذلك

١. زيادة التعقيد الحسابي :كلما زاد عدد الأبعاد، زادت كمية الحسابات المطلوبة، مما يجعل النماذج أكثر تعقيدًا وأبطأ في التنفيذ.
 ٢. تشتت البيانات :في الأبعاد العالية، تصبح البيانات أكثر تشتتًا، مما يقلل من كثافة البيانات في الفضاء ويصعب عملية التقدير.
 ٣. زيادة الحاجة إلى البيانات :كلما زاد عدد الأبعاد، زادت الحاجة إلى كمية أكبر من البيانات لتقدير النموذج بدقة.

عوبة التفسير : النماذج في الأبعاد العالية تكون أكثر صعوبة في التفسير والفهم.

هنا، ظهرت نماذج الانحدار شبه المعلمية، والتي تجمع بين خصائص الانحدار المعلمي واللامعلمي. يعتبر هذا الانموذج من النماذج الهجينة، حيث يجمع بين انموذجين، ويتمتع هذا الأنموذج بجميع السمات الإيجابية للأنموذجين السابقين. في هذا البحث، سنقدر دالة الانحدار للأنموذج شبه المعلمي من خلال تقدير الأنموذج المعلمي باستخدام طريقة المربعات الصغرى العادية وتقدير الأنموذج اللأمعلمي باستخدام طريقة ممهد النواة (kernel)

وقد تم استخدام خوارزمية: التعلم المعارض في تحسين ابن أوى: وهي احدى خوارزميات الذكاء الاصطناعي التي تستخدم مفهوم التعلم القائم على المعارضة في خوارزمية تحسين أبن أوى الذهبي لتحسين عملية اختيار معلمة النواة في الأنموذج شبه المعلمي وبالتالي حل المشكلات الإحصائية والحصول على الإمكانيات المثلى ولتحسين النتائج في البيانات الاقتصاديه (عرض النقد، تكوين راس المال)



حيث اننا سوف نستخدم أكثر من نوع واحد لنماذج انحدار النواة شبه المعلمي في تحسين تقدير المعروض النقدي في الاقتصاد العراقي وتحسين تقدير المعروض النقدي في الاقتصادات الاجنبيه.

وسنعرض بعض من الباحثين الذين استخدموا الانموذج شبه المعلمي في أبحاثهم العلمية. في عام ٢٠٠٤، قدم الباحثون, Härdle) (الانموذج شبه المعلمية التي تناولت نماذج W., Müller, M., Sperlich, S., & Werwatz, A. (2004).) الانحدار بانواعها المعلمية، اللامعلمية وشبه المعلمية وشرح مفصل لمقدرات تلك النماذج [9]،

الذكاء الإصطناعي لعرض النطاق لطريقة نواة وطبقوها على المحاكاة والبيانات المفقودة (البيانات شبه المعلمية). باستخدم الذكاء الإصطناعي لعرض النطاق لطريقة نواة وطبقوها على المحاكاة والبيانات الحقيقية. وأثبتت النتائج أن احتساب الانحدار شبه المعلمي الحتمي الحالي من حيث الكفاءة والفعالية [12] ؛ اقترح Chen and) المعلمي العشوائي أفضل من حساب الانحدار شبه المعلمي الحتمي الحالي من حيث الكفاءة والفعالية [12] ؛ اقترح (2012) تشير نتائج المحاكاة إلى أن المقدر يتفوق على العديد من التصاميم، وقد ثبت أن هذا المقدر متسق وطبيعي دون تقارب [4]. اقترح (2018) المعودة والمتغيرة. قدموا (2018) الموذج الانحدار شبه المعلمي المعلمي المعلمية التحدير التوزيع المعلمية التحليل البيانات الطولية. قاموا استخدم الباحثون (٢٠٢١) الموزية المعلمية المعلمية المعلمية التحليل البيانات الطولية. قاموا ووجدوا أن backfitting method غالبا ما ينتج عنه تحيز وتباين أكثر، لغرض تحسين الكفاءة، يتم تقدير دالة التباين باستخدام ووجدوا أن backfitting method غالبا ما ينتج عنه تحيز وتباين أكثر، لغرض تحسين الكفاءة، يتم تقدير دالة التباس المستخدم في دوارزمية تكرارية [17]. استخدم (الجمال، ٢٠٢٤) خوارزمية الخفافيش في مساحة منفصلة لتحديد معامل التجانس المستخدم في نمذج الانحدار شبه المعلمية حيث وجد أن اسلوب القيم المثلى لمعامل التجانس أكثر دفة من بقية الطرق المقارنة مثل CV

اولاً: المشكلة

في ظل ثورة تحسين الكفاءه والاداء وتطوير المفاهيم في نمذجة البيانات وتحليلها للوصول الى افضل وادق النتائج التي تساهم في تحسين الجوده وتسهيل التكامل بين الانظمه لتقليل التكرار والبناء عليها في اتخاذ القرارات المستقبليه للمؤسسات والدول ولاسيما فيما يتعلق بالجوانب الاقتصاديه والمالية منها, والتي تحتاج الى نتائج جيدة لكي تبنى عليها قرارات استثمارية دقيقة وواضحة حيث ان التخطيط على المدى القريب والبعيد له اهمية كبرى من هنا برز الاهتمام بحل مشاكل نمذجة تلك البيانات وطرق معالجتها احصائيا وبالاخص لدى غياب المعرفة التامة بسلوك تلك المتغيرات في تلك البيانات بحيث لايمكن تحديد العلاقة السببية او السلوكية التي تربط بين جميع هذه المتغيرات، مما يؤدي الى مشاكل في

- اختيار الانموذج الملائم للظاهرة.
- ـ تقديرات المعلمات غير الدقيقة كأفتراض خطية العلاقة بين المتغيرات واهمال تأثير المتغيرات اللاخطيه منها.
 - التعقيد في المعالجة واستهلاك الوقت الكبير نتيجة تعدد المتغيرات وضخامة البيانات في مساحة بحث كبيره.

ومما سبقُ وغيره من التعقيدات الاخرى سيؤدي الى ظهور مشاكل واضحة في دقهُ الوصف والتنبؤ بالقيم المستقبلية. وهذا ما انعكس في تحليل البيانات المالية لدى استخدام طرق التقدير التقليدية.

ثانياً: هدف البحث

يهدف هذا البحث

- التغلب على الصعوبات التي يعاني منها انموذج الانحدار عندما لا تكون البيانات واضحة ولا توجد علاقة واضحة بين بعض من المتغيرات
- حساب تقدير معلمات أنموذج الانحدار شبه المعلمي باستخدام اكثر من انموذج لانحدار النواة شبة المعلمي وباكثر الطرق القياسية استخداما.
 - استخدام نو عيه مطوره وجديده من خوار زميات التحسين في تسريع تحسين انموذج النواة شبة المعلمي .
 - المقارنة بين نتائج الخوار زمية والطرق القياسية المستخدمة احصائيا.



المبحث الاول: الجانب النظرى

اولاً: أنموذج الانحدار شبة المعلمي

اكتسبت نماذج الانحدار شبه المعلمية اهتماما في التحليلات الإحصائية المتقدمة للحصول على مقدرات عالية الكفاءة [13]، لأنها تجمع بين نماذج الانحدار المعلمية الصارمة ونماذج الانحدار اللامعلمي عالية المرونة. نموذج الانحدار الخطي الجزئي (PLRM) هو أنموذجاً شائعاً لأنموذج الانحدار شبه البارامتري حيث يتم عرض العلاقة بين الأجزاء المعلمية واللامعلمية بوضوح. تم اقتراح نموذج PLRM من قبل روبنسون وسبيكمان في عام ١٩٨٨ كحالة خاصة من النماذج التجميعية. الشكل العام لنموذج الانحدار شبه المعلمي هو:

$$y_i = \sum_{j=1}^p \beta_j Z_{ij} + g(u_i) + \varepsilon_i$$
 , $i = 1, 2, 3 \dots, n$. (1)

n imes 1 يمثل متجه متغير الاستجابة أو المتغير التابع و هو من الدرجة n imes 1

. ($n \times (p+1)$) يمثل مصفوفة من المتغير ات التفسيرية للدرجة Z

يمثل متجه المعالم غير المعروفة المراد تقديرها بالدرجة $(p+1)\times 1)$.

 σ^2 : هو متجه للأخطاء العشوائية من الدرجة n imes 1 وهو مستقل مع المتوسط و التباين σ^2 .

. (nx1) إنه متغير مستمر يعبر عن المتغير اللامعلمي بالأبعاد u_i

الانموذج الموصوف في المعادلة السابقة في شكل مصفوفة هو:

$$y = Z\beta + g + \varepsilon \tag{2}$$

Where:

Ζβ: الجزء المعلمي للأنموذج قيد الدراسة.

g :دالة أولية غير مُحددة للمتغير (u) من الدرجة (nx1) ، والتي تمثل الجزء اللامعلمي من النموذج. من أجل تقدير النموذج شبه البارامتري ، يجب حساب معلمات الأنموذج المعلمي ودالة التمهيد غير المعروفة للأنموذج اللامعلمي. نبدأ بتقدير معلمات الجزء المعلمى:

الله بعدير معلمات الأنموذج المعلمي باستخدام طريقة المربعات الصغرى، والتي تكون صيغتها الرياضية كما يلي: [11]. p

$$Y_i = \beta_0 + \sum_{j=1}^p \beta_j Z_{ij} + \varepsilon_i$$
 , $i = 1, 2, 3 \dots, n$. (3)

يشيع استخدام نموذج الانحدار الخطى المتعدد لدراسة تأثير المتغيرات التفسيرية المتعددة على متغير الاستجابة، وصيغته الرياضية هي كما يلي: يتكون من (p) متغيرات تفسيرية، (p+1)معلمات، و (n) مشاهدات. باستخدام طريقة المصفوفة، صيغتها هي [7]

$$Y = Z\beta + \varepsilon \tag{4}$$

يتم تقدير معلماته باستخدام طريقة المربعات الصغري (OLS) ، وصيغها هي

$$\hat{\beta}_{OLS} = (Z^T Z)^{-1} Z^T y \tag{5}$$

بعد ذلك، نقوم بتقدير معلمات الأنموذج اللامعلمي باستخدام طريقة مصفوفة التمهيد. تُم اقتراح هذه الطريقة Green and) Silverman، ١٩٩٤ (لتقدير نموذج الانحدار الخطي الجزئي شبه البارامتري باستخدام مصفوفة التمهيد (S) ، والتي تعتمد على معلمة التمهيد (α) ، وتم اختيار المعلّمة باستخدام طريقة التعابر الشرعي العام (GCV)

أنموذج الانحدار شبه المعلمي (ممهد Kernel) واحد من أهم الطرق لتقدير الجزء غير الخطي في النماذج شبه المعلمية هي باستخدام دوال kernel(ممهد النواة) أو بعبارة أخرى، عن طريق تغيير تمثيل البيانات [13]. لتحويل البيانات غير الخطية المدخلة من p-dimension إلى مساحة عالية الأبعاد ومن ثم يمكن تقدير التحويل الجديد

$$\phi: X = (x_1, x_2, ..., x_N) \to Z = (z_1 = \phi(x_1), z_2 = \phi(x_2), ..., z_N = \phi(x_N))$$
(6)

تم استخدام دالتين من دوال kernel [11]

1. Polynomial kernel functions

$$K(x,y) = [x^T y + 1]^m$$
 (7)

2. Gaussian radial basis kernel functions

$$K(x,y) = \frac{exp(-\|x - y\|^2)}{2\sigma^2}$$
 (8)



يتم تعريف نموذج الانحدار شبه المعلمي على النحو التالي:

Polynomial:
$$Y = Z\beta + [x^Ty + 1]^m + e$$
 (9)
Gaussian radial basis: $Y = Z\beta + exp(-\|x - y\|^2/2\sigma^2) + e$ (10)

ثانياً: طريقة التحقق المتقاطع (العبور الشرعي) CV:

إنها تقنية تستخدم على نطاق واسع في التعلم الآلي والإحصاء لتقييم أداء الأنموذج التنبئي. يساعد في تقدير مدى جودة أداء الأنموذج على البيانات غير المشاهدة (المرئية).

فيما يلى قواعد طريقة التعابر الشرعي CV:

١ تقسيم البيانات: تنقسم مجموعة البيانات إلى قسمين: مجموعة تدريب ومجموعة اختبار.

٢. التحقق المتبادل k-fold تنقسم مجموعة البيانات إلى مجموعات فرعية (شرائح) من مجموعات K متساوية الحجم تقريبا.

٣. تكرار ات التدريب والاختبار: تتكون عملية التعابر الشرعي من K من التكرار ات

٤. مقاييس الأداء: لكل تكر ار، يتم حساب مقاييس الأداء مثل الدقة أو متوسط مربع الخطأ MSE

ه. اعادة التحقق (التعابر الشرعي) K-Fold : يتم تكرار الخطوتين K و K من المرات , في كل مرة باستخدام مجموعة مختلفة كمجموعة اختبار

٦.. التقييم: يتم حساب متوسط مقاييس الأداء التي تم الحصول عليها في كل تكرار للعثور على تقدير واحد لأداء النموذج.

٧. ضبط المعلمة: يستخدم التعابر الشرعي أيضا لضبط المعلمات الفائقة.

٨. النموذج النهائي: بعد عملية التعابر الشرعي، يمكن تدريب الأنموذج النهائي على مجموعة البيانات بأكملها باستخدام أفضل المعلمات الفائقة أداء وتقييمه على مجموعة بيانات غير مرئية تماما لتقدير أدائه في سيناريوهات العالم الحقيقي.

ثالثاً: طريقة التحقق المتقاطع العام (العبور الشرعى العام) GCV:

١ تقسيم البيانات: تنقسم مجموعة البيانات إلى قسمين: مجموعة تدريب ومجموعة اختبار.

٢. تدريب الانموذج: يتم تدريب الانموذج على مجموعة التدريب

٣. تقييم الاداء: تستخدم مجموعة الاختبار لتقييم اداء الانموذج وحساب الاخطاء التنبؤية

٤. حساب العبور الشرعي العام: يتم حساب قيمة GCV والتي تعكس مدى دقة الانموذج في التنبؤ بالبيانات الجديده,

٥. التقييم: توفر درجة GCV تقدير لأداء الانموذج. وتشير درجة GCV المنخفضة إلى ملاءمة أفضل للبيانات مع تعميم جيد للبيانات غير المرئية

آ. اختيار الانموذج الامثل: يتم اختيار الأنموذج الذي يقلل من درجة GCVحيث ان القيمه الاقل تشير الانموذج الافضل

٧. ضبط المعلمة: يستخدم العبور الشرعي العام أيضا لضبط المعلمات الفائقة.

٨. الأنموذج النهائي: بعد عملية العبور الشرعي العام ، يمكن تدريب الأنموذج النهائي على مجموعة البيانات بأكملها باستخدام أفضل المعلمات الفائقة أداء وتقييمه على مجموعة بيانات غير مرئية تماما لتقدير أدائه في سيناريو هات العالم الحقيقي.

رابعاً: تحسين أنموذج النواة شبه المعلمي بأستخدام التعلم المعارض في خوارزمية تحسين ابن أوى:

تهدف هذه الخوارزمية إلى استخدام مفهوم التعلم القائم على المعارضة في توليد المجتمع الأولي لخوارزمية تحسين أبن أوى الذهبي لتحسين عملية اختيار معلمة النواة في الأنموذج شبه المعلمي. حيث تعاملت هذه الخوارزمية مع المفاهيم الأساسية التالية:

خوارزمية تحسين أبن أوى الذهبي Golden Jackal Optimization (GJO) .

🔾 التعلم القائم على المعارضة (O-BL)(Opposition-Based Learning) .

التحسين المستخدم

. Golden Jackal Optimization (GJO) خوارزمية تحسين أبن أوى الذهبي

GJO مستوحاة من سلوك الصيد التعاوني لابن آوى الذهبي (Canis aureus) [2].. تم اقتراح طريقة تحسين ابن آوى الذهبي (GJO) من قبل نيتيش شوبرا ومحسن أنصاري في عام ٢٠٢٢. الخطوات الأساسية الثلاث للخوارزمية هي البحث عن الفريسة ، والإحاطة ، والانقضاض ، والتي يتم نمذجتها وتطبيقها رياضيا. يتم تقييم قدرة الخوارزمية المقترحة ، من خلال المقارنة مع أحدث ما في علم الاستدلال الحديث ، على وظائف معيارية. تبدأ (GJO) بتهيئة مجموعة من الحلول المرشحة لمشكلة التحسين التي يتم حلها. يتم تمثيل كل حل مرشح كمتجه للقيم التي تشفر معلماته أو متغيراته. في المرحلة الأولى من الخوارزمية ، والتي تسمى المرحلة الاستكشاف" ، يتم تقييم الحلول المرشحة بناء على كفاءتها أو هدف الدالة. يتم الاحتفاظ بالحلول الأكثر ملاءمة ، بينما يتم التخلص من الحلول الأقل ملاءمة (, تلي مرحلة الاستكشاف "مرحلة الاستغلال" ، حيث يتم استخدام الحلول المحتفظ بها لتوجيه البحث نحو حلول أفضل. هذه المرحلة مستوحاة من تكتيك ابن اوى المتمثل في العمل معالصيد الفرائس . في هذه المرحلة ، تعمل الحلول المحتفظ بها كمرشدين أو قادة يجذبون الحلول المرشحة الأخرى نحوها. لقد ثبت أن (GJO) فعالة في حل مجموعة واسعة الحلول المحتفظ بها كمرشدين أو قادة يجذبون الحلول المرشحة الأخرى نحوها. لقد ثبت أن (GJO) فعالة في حل مجموعة واسعة



من مشكلات التحسين ، بما في ذلك تلك التي تكون غير خطية ومتعددة الحدود. حيث انها تتميز بقدرتها على التكيف مع مشاكل التحسين المختلفة وقد تمت مقارنة أدائها بشكل إيجابي بخوارزميات التحسين الشائعة الأخرى مثل خوارزميات مستعمرة النمل وتحسين سرب الجسيمات. [6]

يمكن أن يوفر فهم سلوك واستراتيجيات الصيد التعاوني لابن آوى الذهبي في الطبيعة. حيث تعتمد هذه الخوار زمية على محاكاة سلوكيات البحث عن الطعام، التسلل، والإحاطة بالفريسة لالتقاطها، مما يساعد في تحديث موقع ابن آوى وتحسين الحلول ويلهم حلولا مبتكرة للمشاكل المعقدة. يمثل (GJO) أحد هذه الحلول المستوحاة من تكتيكات صيد ابن اوى التي لها تطبيقات في مختلف المجالات ، مثل الروبوتات والذكاء الاصطناعي.

(1) في البداية ، يتم اختيار أفراد المجتمع عشوائيا وتهيئتهم وفقا للحد الأدنى والحد الأعلى للمشكلة وفق المعادلة $Z_0 = L + rand * (U - L)$ (11)

حيث يمثل L و U الحد الأدنى والحد الأعلى لمنطقة البحث ، ويشير rand إلى رقم عشوائي محدد يالفتره [٠,١]. في المعادلة ادناه ، يتم إنتاج مصفوفة الحلول الأولية prey في هذه المرحلة ويتم اختيار اثنين من عناصرها هما الأصلح كزوج ابن آوى

$$prey = \begin{bmatrix} Z_{1,1} & Z_{1,2} \dots & Z_{1,d} \\ Z_{2,1} & Z_{2,2} \dots & Z_{2,d} \\ \vdots & \vdots & & \vdots \\ Z_{n,1} & Z_{n,2} & Z_{n,d} \end{bmatrix}$$
 (12)

حيث ، $Z_{i,j}$ هو عنصر الحل الأولي ويمثل j^{th} البعد , i^{th} يمثل الفريسة و n يشير الى العدد الإجمالي للفرائس ، d يمثل عدد المتغيرات. حيث يشير موضع الفريسة إلى معلمات حل معين.

٢. ننتقل الى مرحلة الاستكشاف أو البحث عن الفريسة في هذه المرحلة ، يتم اقتراح استراتيجية استكشاف GJO. كما هي طبيعة ابن آوى ، فهم يعرفون كيفية إدراك الفريسة ومتابعتها ، ولكن بشكل متقطع اذ لا يمكن القبض على الفريسة بسهولة والهروب.
 بعد التطويق ، يقفزون على فريستهم ويأكلونها. يتم التعبير عن سلوك الصيد هذا ، جنبا إلى جنب مع ابن آوى من الذكور والإناث ، رياضيا على النحو التالى:

$$Z_1(t) = Z_M(t) - E.[Z_M(t) - rl * prey(t)]$$
 (13)

$$Z_2(t) = Z_{FM}(t) - E.[Z_{FM}(t) - rl * prey(t)]$$
 (14)

الهدف من rl في المعادلة. (13) و (14) هُو إنتَّاج سُلُوك عشوائي في فترة الاستَّغُلَالُ ، مع التَّرُكْيزَ على الاستكشاف وتجنب الحل الأمثل (المتوفر) المحلي.

حيث يشير (t) إلى التكرار الحالي ، و prey(t) هو متجه موضع الفريسة ، ويشير $Z_M(t)$ و $Z_M(t)$ إلى موضع ابن آوى الذكر والأنثى. $Z_M(t)$ هو التهرب من طاقة الفريسة الذكر والأنثى. $Z_M(t)$ هو التهرب من طاقة الفريسة أخيرا ، يتم تحديد موضع التحديث الجديد لابن آوى الذهبي على النحو التالي:

$$Z(t+1) = \frac{Z_1(t) + Z_2(t)}{2}$$
 (15)

٣. مرحلة الاستغلال أو تطويق الفريسة والانقضاض عليها, في هذة المرحلة يتم تقليل قدرة الفريسة على الهروب عندما تتعرض للمضايقة من قبل ابن آوى ، ثم تطوق أزواج ابن آوى الفريسة المكتشفة في المرحلة السابقة. بعد التطويق ، يقفزون على فريستهم ويأكلونها. يتم التعبير عن سلوك الصيد هذا رياضيا على النحو التالى:

$$Z_1(t) = Z_M(t) - E.[rl.Z_M(t) - prey(t)]$$
 (16)

$$Z_2(t) = Z_{FM}(t) - E.[rl.Z_{FM}(t) - prey(t)]$$
 (17)

(O-BL) Opposition-Based Learning

تم تقديم فكرة O-BL كتقنية جديدة لتسريع تقارب الأساليب التطورية عند نشرها على المشكلات المعقدة ، لا سيما تلك المشاركة في البحث والتحسين. وهو مستوحى من التحولات غير المتوقعة والجذرية للتطورات الاجتماعية. المبدأ الحاسم هو أنه في التكرار الحالي ، يمكن إنشاء كل جسيم أو حل مرشح لمشكلة التحسين إما عن طريق دمج المعلومات التي تم الحصول عليها أثناء تطوير الخوارزمية أو عن طريق إنتاج تخمينات عشوائية بسيطة (Sutton, R. S. 2018) [16]، كما هو الحال في تهيئة المجتمع الاولي المسكان. خلال المرحلة الثانية ، يمكن تعزيز سرعة التقارب بشكل احتمالي من خلال إنتاج نقطة معارضة لكل حل ممكن في بداية العملية وفي كل تكرار. يتوقع O-BL أن استكشاف اتجاه الحل المرشح الأولي وكذلك بالترتيب العكسي قد يكون مفيدا لتحديد القيمة المثلي بطريقة أكثر وضوحا. نتيجة لذلك ، فإن الفكرة الأساسية هي رقم معاكس ، على سبيل المثال، يمكن أن يكون لدينا مجموعة



من الحلول في مسألة معينة، ونقوم بحساب حلاً معاكسًا لكل حلاً من هذه المجموعة. هذا يمكن أن يساهم في تحسين الأداء وتسريع عملية البحث عن الحلول المثلى. حيث يمكن تحديد الرقم المعاكس لأي قيمة حقيقية عشوائية $Z \in [L,U]$ على النحو التالي : $\bar{Z} = L + U - Z$

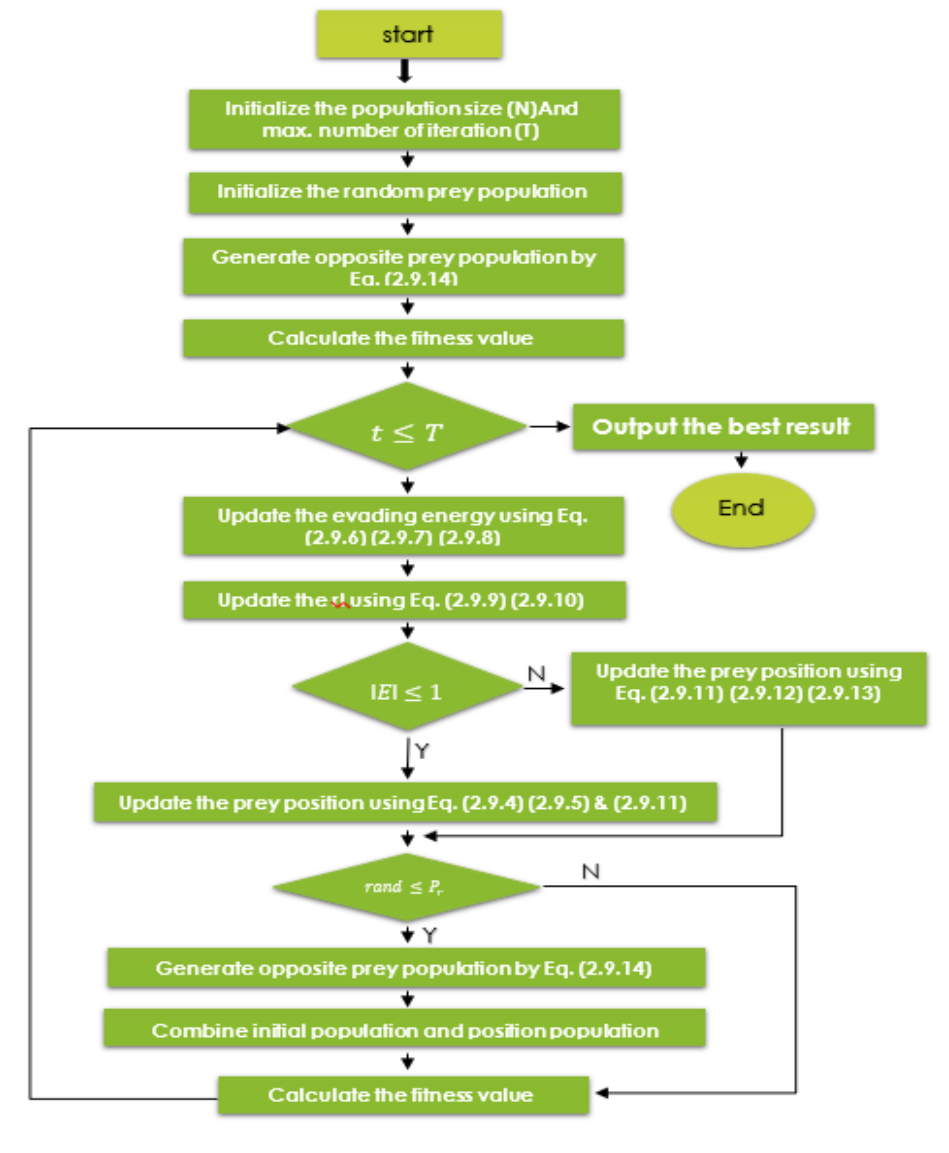
 $Z \in \mathbb{R}^n$ هو متجه الموضع المعاكس من متجه الموضع الحقيقي $ar{Z} \in \mathbb{R}^n$

بالإضافة إلى ذلك ، تتم مقارنة الحلين و أثناء عملية التحسين ويتم تخزين أفضل هذه الحلول ، بينما يتم التخلص من أسوأ الحلول من خلال مقارنة دالة الكفاءة (the fitness functions) . على سبيل المثال ، إذا كانت F(Z) أقل من $F(\bar{Z})$ (للتصغير) ، يتم حفظ Z وإذا كانت Z أكبر من Z، يتم حفظ Z.

استخدام تقنية التعلم القائم على المعارضة بخوارزمية ابن اوى الذهبي (التحسين المستخدم) into GJO Algorithm (OGJO):

يوضح هذا الجزء OGJO المقترح كمزيج من قدرات خوارزمية GJO مع تقنية OBL لتعزيز استكشاف منطقة البحث ، مما يؤدي إلى تحسين دقة الحل الأمثل. تم تحسين طريقة GJO بواسطة OBL نظرا لأن لها عددا من الخصائص غير المرغوب فيها ، مثل ضعف التقارب والوقوع في شرك الحلول المحلية (القريبه)، مما يحد من استكشاف منطقة البحث والاستخدام المناسب للوقت. يتضمن النهج المقترح القيمة المتعارضة أثناء تغطية منطقة البحث من خلال النظر في الاحتمالين للنقطة المحسوبة من أجل منع الحالات المذكورة أعلاه. يزيد هذا التحسن من احتمالية استخدام الحلول المثلى في وقت أقل بنسبة ٥٠٪. يتم تنفيذ الاستراتيجية المقترحة على مرحلتين.

تتضمن المرحلة الأولى تهيئة السكان (المجتمع الاولي) باستخدام O-BL ، والتي تبدأ مع اختيار ابن آوى الذهبي NP الأقرب إلى الحل الأمثل. المرحلة الثانية تحديث الجيل الجديد من ابن آوى الذهبي.



شكل (١): المخطط الرئيسي لخوار زمية OGJO



التحسين المستخدم في أنموذج النواة شبه المعلمي استناداً الى خوارزمية التعلم المعارض لتحسين ابن اوى:

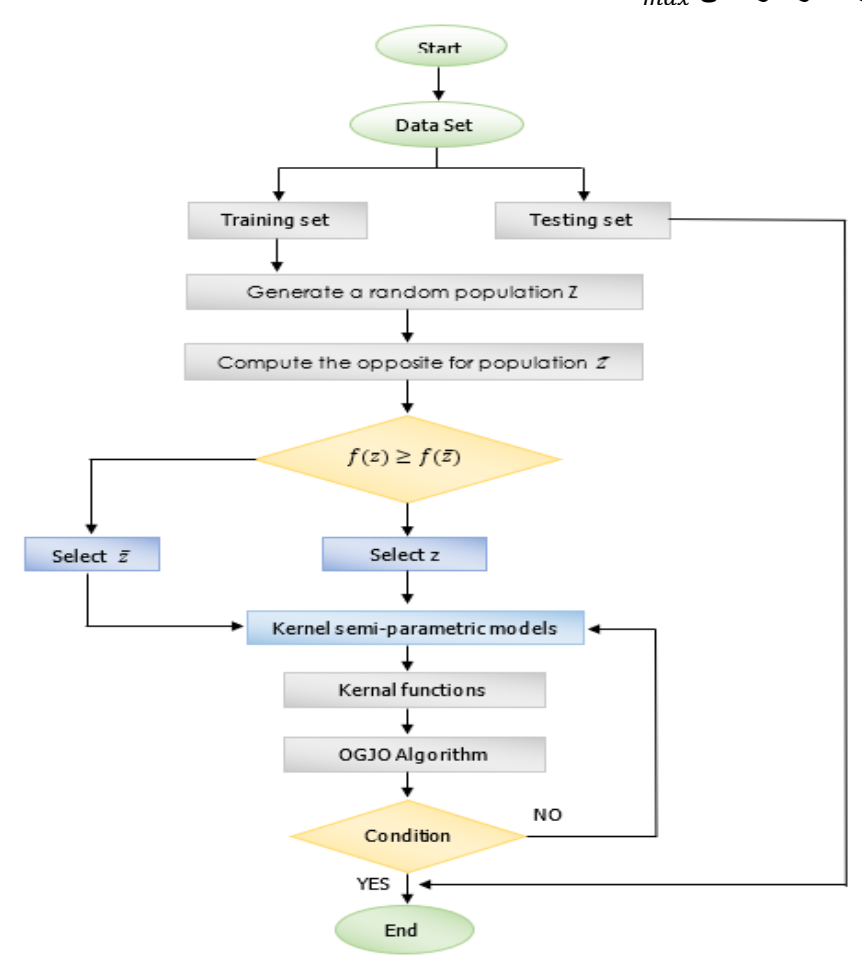
ان المعلمات الفائقة المرتبطة بنوع النواة لها تأثير مباشر على تحسين حل دالة الهدف. يعتمد أداء دالة kernel بشكل كبير على اختيار هذه المعلمات الفائقة، ولكن لا توجد طرق رياضية متاحة لتحديد قيمها الدقيقة. وبالتالي، فإن البحث في نموذج الانحدار شبه المعلمي للنواة يعتمد بشكل كبير على اختيار هذه المعلمات الفائقة. في حين أن طريقة CV وCV حيث ان هذة التقنيات الأكثر شيوعا والمستخدمة في الأدبيات لتحديد هذه المعلمات، تستغرق وقتا طويلا. في الحوسبة، لذلك تستخدم الخوار زميات المحسنة، مما يؤدي إلى أداء أكثر ملاءمة من ذلك الذي تحققه أي خوار زمية وحدها [16]. إحدى هذه الخوار زميات هي OGJO، التي لديها القدرة على التغلب على الحلول المثلى المحلية ومشاركة الميزات إلى حل وسط بين الاستكشاف والاستغلال، وتأخير بداية تقارب كل خوار زمية، ومنع الوقوع في المستوى الأمثل المحلي. لتحسين خصائص أداء الخوار زمية المقترحة والحصول على تقارب أسرع من أجل الهروب من الأمثل المحلي، مما يعزز استكشاف واستغلال خوار زمية المقترحة والحصول على تقارب بكفاءة في العثور على أهم قيم المعلمات الفائقة المتعلقة بأنموذج النواة شبه المعلمي مع أداء تنبؤ عالي. حيث يتم عرض مخطط انسيابي لتحسين الخوار زمية المستخدم لانموذج النواة الشبة المعلمي كمايلي

وقد تمت الخطوات كما يلى:

- ۱. تم تخصیص خمسة و عشرین ابن اوی، وتم التخطیط ل t=500 تکرار کحد أقصى.
 - ٢. تم وضع ابن اوى المعارض من خلال مفهوم التعلم المعارض.
- ٣. لكل من المجموعتين، في التكرار الأول، يتم حساب أفضل واحد وثاني (ذكر وانثى ابن اوى) بين مجموعة العنصر والعنصر المقابل
- the parameter of kernel) P الفائقة P الفائقة P الفائقة وضع (ذكر وانثى ابن اوى) في مواقعهم بشكل عشوائي. يتم تمثيل المعلمة الفائقة P الفترة [۰,۰،۱۲] من خلال موقع ابن اوى. يتم اختيار مواقع انطلاق ابن اوى عشوائيا من التوزيع الطبيعي بين الفترة [۰,۰،۱۲].
 - $ar{z}$. حساب $ar{z}$ لكل معلمة فائقة باستخدام المعادلة ($ar{z}$).
 - ٦. يتم تعريف دالة الكفاءة (fitness function) على النحو التالي:

$$fitness = \frac{\sum_{i=1}^{n} (y_i - \hat{y}_i)^2}{n}$$
 (19)

- ٨. يتم تحديث المواقع باستخدام المعادلات (13), (14).
 - t_{max} . تكرر الخطوات 4,3 و $^{\circ}$ للوصول الى $^{\circ}$



شکل (۲): Semi-parametric kernel model using the OGJO



رابعاً: معيار المقارنه بين المقدرات المستخدمة:

يتم إجراء مقارنة بين طرق التقدير المذكورة سابقا، ويتم اختيار أفضل مقدر باستخدام متوسط مربع الأخطاء (MSE) وصيغته الرياضية هي

$$MSE = \frac{\sum (y_i - \widehat{y})}{n}$$
 (20)

المبحث الثاني: الجانب العملي

في هذا الجانب، سيتم توضيح ما تم ذكره في الجانب النظري وتطبيقه على البيانات الحقيقية المتعلقة بالجانب الاقتصادي. وبناء على ذلك، سنقوم باختبار خطية البيانات لتحديد الانموذج الملائم لها (الانموذج شبة المعلمي) واستخدام نوعين من انموذج انحدار النواة شبه المعلمي (Gaussian Radial Basis, Polynomial) والذي سيوضح لنا المقارنة بين الطرق المستخدمه في الحساب باستخدام معيار المقارنة (متوسط مربع الخطأ) MSE

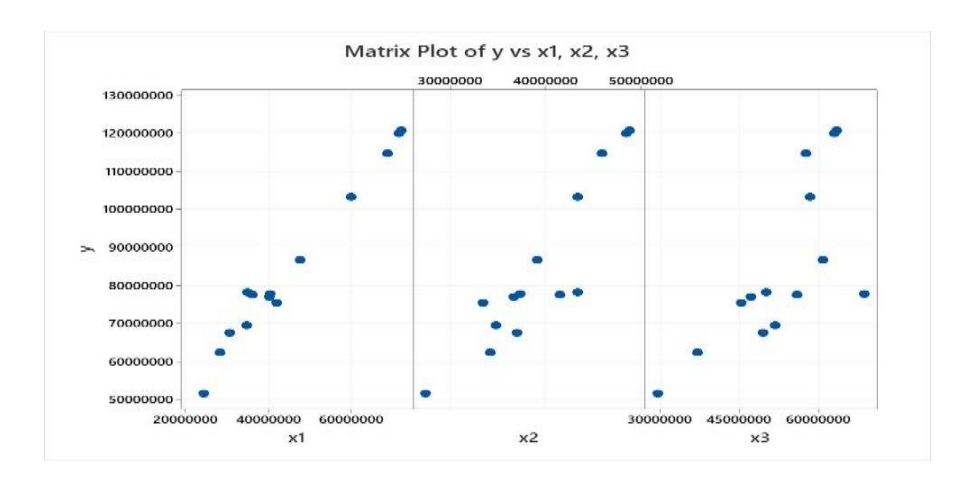
اولاً: عرض النقد والعوامل المؤثره فية (التطبيق الاول)

ان لعرض النقد اهميه كبيره في الاقتصاد وفي تحديد السياسة النقديه لاي دوله لعدة أسباب تتضمن التحكم بالتضخم , تحقيق الاستقرار الاقتصادي تحديد السياسه النقديه المناسبه 🔒 وايضاً التنبؤ بالنشاط الاقتصاددي والذي يقوم على تحليل عرض النقد بالدرجة الاساس مما يمكن الحكومات والبنوك المركزيه من تحقيق النوازن بين العرض والطلب على النقد، والذي يسهم بدوره في استقرار الأسعار والنمو الاقتصادي المستدام [1] حيث ان عرض النقد بمفهومه المبسط هو عبارة عن القدرة الشرائيّة لدي الأفراد، ويُشار له ايضاً بتوافر النقود أيّ أنَّ الأصول السائلة في القطاع الاقتصاديّ تعتمد على تبادل الخدمات والسلع،حيث يشير الى مقدار النقد اوالعملة والاصول السائلة الاخرى المتداوله في الاقتصاد وتؤخذ ايضا المقايس المختلفة للمعروض النقدي في الاعتبار (البنود غير النقدية) مثل الائتمان والقروض. البنوك المركزيه هي المعني الرئيسي بتحديد مستوى المعروض النقدي داخل الدولة من خلال الاجراءات التوسعيه او الانكماشيه اذ تتضمن السياسات التوسعية زيادة المعروض النقدي من خلال تدابير مثل السوق المفتوحه فيما تشمل السياسه الانكماشية بيع سندات الخزانه. يحلل الاقتصاديون المعروض النقدي ويطورون سياسات مرتبطة به لذلك فهم بحاجه الى انموذج يرسم العلاقه بشكل واضح بين متغير عرض النقد والعوامل المؤثره فيه للوصول الى التحكم في اسعار الفائده, وزياددة كمية الاموال المتدفقة في الاقتصاد او تقليلها جيث تؤدي الزيادة في المعروض النقدي الى خفض في اسعار الفائده وتوليد المزيد من الاستثمار وزيادة الاموال لدى المستهلكين وبالتالي تحفيز الانفاق، في هذة الحالة تزيد الشركات انتاجها ونشاطها التجاري وبالتالي الطلب على العماله ويمكن ان يحدث العكس اذا انخفض المعروض النقدي . ان الزياده في عرض النقد من دون الاستناد الى العوامل المؤثره سيؤدي إلى ظهور تضخم اقتصادي، أمّا انخفاض عرض النقد فينتج عنه ظهور البطالة، والانكماش، وخمول القدرة على الإنتاج وقد تم الحصول على البيانات من الموقع الرسمي للجهاز المركزي للإحصاء في العراق. هي مجموعة من مؤشرات البيانات المالية التي تعكس المؤشرات النقدية والتطورات التي حدثت في القطاع الاقتصادي ممثلة بالقاعدة النقدية وعرض النقد ل١٤ عام ، وركزت البيانات على تحديد أهم وأبرز العوامل التي تؤثر على عرض النقد من عام ٢٠١٠ الى عام ٢٠٢٣. المتغيرات المؤثرة على عرض النقد هي العملة المتداولة خارج البنوك ، الودائع الجارية ، المطلوبات ، صافى الأصول الأجنبية ، ديون القطاع الخاص والقطاعات الأخرى ، القروض والسلف ، التحويلات والسندات ، رأس المال والاحتياطيات ، وصافى الأصول الأخرى.

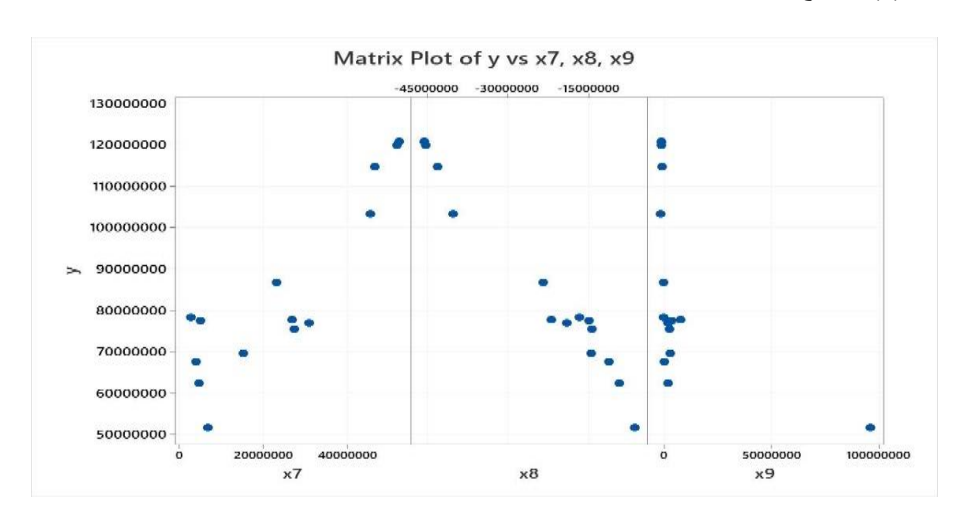
ثانياً: اختبار خطية البيانات لعرض النقد والعوامل المؤثرة فية

تتضمن الخطوة الأولى تحليل العلاقة بين المتغيرات المستقلة ومتغير الاستجابة التابع بيانيا. هذا التحليل ضروري لتحديد ما إذا كانت العلاقة بين المتغيرات خطية أو غير خطية ، وبناء على هذا التقييم ، يتم تعريف المتغيرات لكل من مكونات النموذج المعلمي وغير المعلمي . تم الحصول على نتائج البيانات الحقيقية باستخدام البرنامج الإحصائي R ، وتوضح الرسوم البيانية التالية ما إذا كانت المتغيرات خطية أم V . عند فحص مخطط التشتت ، تم تحديد أن العلاقة بين كل من المتغيرات التفسيرية (العملة خارج البنوك V ، الودائع المحلوبات V ، المطلوبات V ، المطلوبات V ، مسافي الأصول الأجنبية V ، ديون القطاع الخاص والقطاعات الأخرى V ، القروض والسلف V ، التحويلات والسندات V ، رأس المال والاحتياطيات V ومتغير الاستجابة التابع (عرض النقد V) خطية من ناحية أخرى ، فإن العلاقة بين متغير الاستجابة التابع V والمتغير التفسيري التاسع (صافي الأصول الأخرى V) غير خطى .

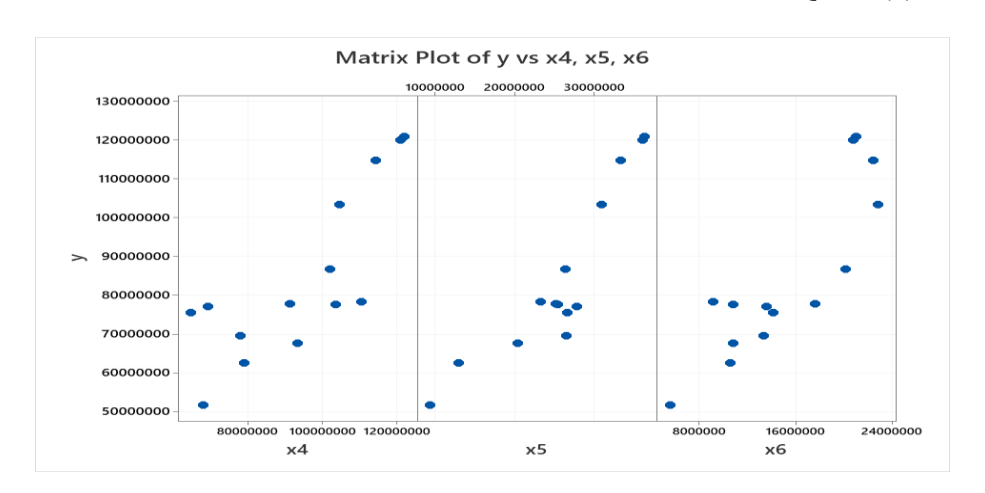




شكل (٣): يوضح طبيعة العلاقة بين متغير الأستجابة Y والمتغيرات التوضيحية x1,x2,x3 لبيانات عرض النقد



شكل (٤): يوضح طبيعة العلاقة بين متغير الأستجابة Y والمتغيرات التوضيحية x4,x5,x6 لبيانات عرض النقد



شكل (٥): يوضح طبيعة العلاقة بين متغير الأستجابة Y والمتغيرات التوضيحية X7,X8,X9 لبيانات عرض النقد

بمجرد تحديد العلاقة بين متغير الاستجابة (التابع) والمتغيرات التفسيرية، يتم وصف الانموذج شبة المعلمي بمتغيراته التفسيرية (المعلمية الثمانية والمتغير اللامعلمي التاسع) والمتغير التابع وصياغته على النحو التالي $y_i = X_{i1}\beta_1 + X_{i2}\beta_2 + X_{i3}\beta_3 + X_{i4}\beta_4 + X_{i5}\beta_5 + X_{i6}\beta_6 + X_{i7}\beta_{7+} X_{i8}\beta_8 + g(x_9) + \varepsilon_i$ (21) i = 1,2,3...,n.



ثالثاً: مناقشة نتائج عرض النقد والعوامل المؤثرة فية

تظهر النتائج في الجدول (١) أن خوار زمية OGJO أنتجت MSE أقل من الطرق الاحصائية التقليدية CV و GCV يمثل الجدول (١) وقت التنفيذ (بالثواني) ، مما يشير إلى أن OGJO يستغرق وقتا أقل للحصول على نتائج MSE (٢)

Table (1): MSE	value for the methods used
----------------	----------------------------

Method ,N=14	Gaussian Radial Basis	Polynomial
CV	12.567	13.382
GCV	11.295	12.988
GJO	10.454	11.305
OGJO	9.012	9.873

Table (2): The execution time value of the methods used

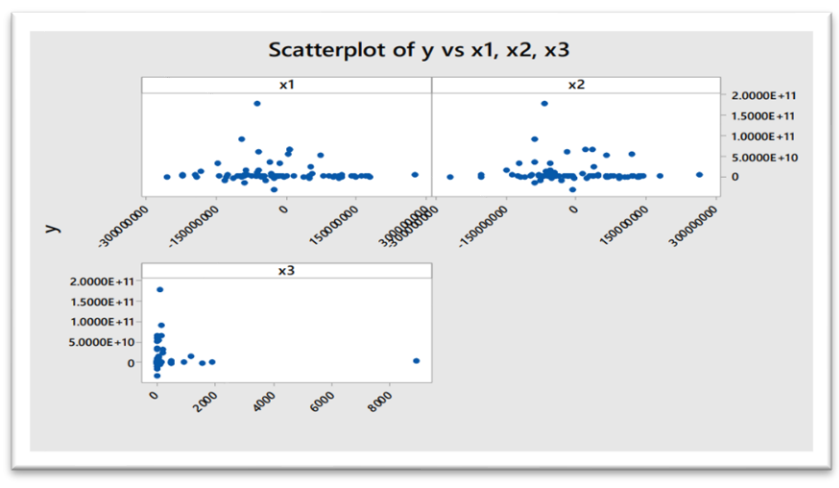
Method	Gaussian Radial Basis	Polynomial
CV	141	148
GCV	135	145
GJO	117	129
OGJO	101	106

رابعاً: العوامل المؤثرة على نسبة إجمالي تكوين رأس المال إلى الناتج المحلى الإجمالي

يشار الى اجمالي تكوين رأس المال غالبًا باسم الاستثمار حيث يمثل القيمة الإجمالية للأصول المادية الجديدة والتي تم إنشاؤها داخل الاقتصاد خلال فترة محددة. وتشمل هذه الأصول المباني والبنية التحتية والآلات والسلع المعمرة الأخرى التي تساهم في الإنتاج المستقبلي. ويعد مقياسا بالغ الأهمية لأنه يعكس قدرة الاقتصاد على توليد الثروة وتعزيز الإنتاجية. تم الحصول على بيانات هذه الدراسة من الموقع الرسمي للبنك الدولي (Bank Word, 2021) من مجموعة بيانات مؤشرات التنمية العالمية المحدثة حتى الدراسة من الموقع الرسمي للبنك الدولي (1021 Bank وأبرز العوامل التي تؤثر على نسبة إجمالي تكوين رأس المال يقرب من ٧٨ دولة لعام ٢٠٢٠. وركزت البيانات على تحديد أهم وأبرز العوامل التي تؤثر على نسبة إجمالي تكوين رأس المال إلى الناتج المحلي الإجمالي (GDP). والذي يؤثر فيه كل من رصيد الحساب الجاري والاستثمار الأجنبي المباشر والتضخم.

١٣. اختبار خطية البيانات لإجمالي تكوين رأس المال والعوامل المؤثرة فية.

تم تحليل العلاقة بين المتغيرات المستقلة ومتغير الاستجابة التابع بيانيا. في هذا البحث، باستخدام البرنامج الأحصائي ، R ، لإنشاء مخطط مبعثر ، كما هو موضح في الشكل (٦). عند فحص مخطط التشتت، وجدنا أن العلاقة بين كل من المتغيرين التفسيريين (رصيد الحساب الجاري X_1 والاستثمار الاجنبي X_2 ومتغير الاستجابة التابع (إجمالي تكوين رأس المال Y) خطية والعلاقة بين متغير الاستجابة التابع (Y) والمتغير التفسيري الثالث (التضخم (X)) غير خطية



الشكل (٦): يوضح طبيعة العلاقة بين متغير الاستجابة والمتغيرات التفسيرية للبيانات المتعلقة بتكوين رأس المال



تم تحديد العلاقة بين متغير الاستجابة والمتغيرات التفسيرية (رصيد الحساب الجاري والاستثمار الأجنبي المباشر والتضخم) الى إجمالي تكوين رأس المال. في هذا النموذج، حيث تم وصف المتغيرات التفسيرية الثلاثة على النحو التالي: المتغير التفسيري الأول هو رصيد الحساب الجاري (X1) ، والذي يعتبر معلمياً لأنه له علاقة خطية مع متغير الاستجابة (إجمالي تكوين رأس المال). المتغير التفسيري الثاني هو الاستثمار الأجنبي المباشر (X2) ، وهو أيضا معلمي بسبب علاقته الخطية بتكوين رأس المال الكلي. لذلك فإن المكون المعلمي للنموذج مناسب لكل من X1 و .2Xو أخيرا، المتغير التفسيري الثالث هو التضخم (X3) ، وهو متغير لا معلمي بسبب علاقته غير الخطية بتكوين رأس المال الكلي. نتيجة لذلك، سيتم تضمينه في المكون اللامعلمي للانموذج. بناء على هذه المعلومات، تكون صيغة نموذج الانحدار كما يلي

 $y_i = X_{i1}\beta_1 + X_{i2}\beta_2 + g(x_3) + \varepsilon_i$, i = 1,2,3...,n. (22)

خامساً: مناقشة نتأئج إجمالي تكوين رأس المال والعوامل المؤثرة فيه:

تظهر النتائج في الجدول (٣) أن خوارزمية OGJO أنتجت MSE أقل من CV و GCV ، بينما يمثل الجدول (٤) وقت التنفيذ (بالثواني) ، مما يشير إلى أن OGJO يستغرق وقتا أقل للحصول على نتائج MSE

Method, N=78	Radial Basis	Polynomial
CV	11.361	12.176
GCV	10.089	11.782
GJO	9.055	10.054
OGJO	7.806	8.667

Table (3): MSE value for the methods used

Table (4): The execution time value of the methods used

Method,N=78	Radial Basis	Polynomial
CV	124	131
GCV	118	128
GJO	96	109
OGJO	83	89

المبحث الثالث: الاستنتاجات والتوصيات

اولاً: الاستنتاجات:

من خلال الجانب العملي، وجدنا ما يلي:

- 1. تعمل خوارزمية البحث عن الجانبية الثنائية المقترحة (OGJO) بشكل أفضل من خوارزمية ابن اوى.
- ٢. تقلل خوارزمية التحسين (OGJO) من وقت الحساب المطلوب للتقدير مقارنة بالطرق الأخرى، مثل CV و GCV.
 - ٣. تستكشف OGJO مساحة البحث بشكل أكثر فعالية من طرق القياس الاخرى.
- ٤. الخوار زمية المقترحة لديها القدرة على تعزيز قابلية تطبيق نماذج النواة شبه المعلمية في تطبيقات مختلفة، بما في ذلك التمويل والاقتصاد والهندسة والطب.

ثانياً: التوصيات

يمكن تلخيص التوصيات التالية:

- ١. نوصي بتطبيق الخوارزمية (GJO) في مجالات أخرى من التعلم الآلي ، مثل التعلم العميق والتعلم المعزز.
 - ٢. نوصى باستخدام خوارزميات محسنة ومطورة لتحسين نماذج الانحدار شبه المعلمي.
 - ٣. نوصي باستخدام نماذج شبه معلمية أخرى من Kernel استنادا إلى دوال kernel الأخرى.
- ٤. التغلب على المشاكل التي تعاني منها اي خوارزمية في مساحة بحث كبيره نوصي بالبحث في تحسين اوالدمج بين الخوارزميات.



المصادر

اولاً: المصادر العربية

١- صالح، عدنان مناتي (٢٠١٧) " عرض النقود واثرة في التضخم دراسة تحليلية في الاقتصاد العراقي للمدة ١٩٩٠-٢٠١٣ "، كلية بغداد للعلوم الاقتصادية الجامعة، مجلة دنانير، مجلد ٢٦، العدد ٧.

ثانياً: المصادر العربية المترجمة

1- Saleh, Adnan Manati (2017) "Money supply and its impact on inflation, an analytical study in the Iraqi economy for the period 1990-2013", Baghdad College of Economic Sciences, University of Baghdad, Dinars Journal, Volume 26, Issue 7.

ثالثاً: المصادر الاجنبية

- 1- Admasu, E., Thirgood, S. J., Bekele, A., & Karen Laurenson, M. (2004). Spatial ecology of golden jackal in farmland in the Ethiopian Highlands. *African Journal of Ecology*, 42(2), 144-152.
- 2- AL-Taie, F.A.Y., Qasim, O.S. and Algamal, Z.Y., 2024, March. Improving kernel semi-parametric regression model based on a bat optimization algorithm. In AIP Conference Proceedings (Vol. 3036, No. 1). AIP Publishing.
- 3- Chen, Songnian, and Xianbo Zhou 2012 Semiparametric estimation of a truncated regression model. Journal of Econometrics 167(2):297-304.
- 4- Chiou, Sy Han, 2019 Semiparametric regression analysis of panel count data: A practical review. International Statistical Review 87(1):24-43.
- 5- Chopra, N., & Ansari, M. M. (2022). Golden jackal optimization: A novel nature-inspired optimizer for engineering applications. *Expert Systems with Applications*, *198*, 116924.
- 6- Ghysels, Eric, and Hang Qian 2019 Estimating MIDAS regressions via OLS with polynomial parameter profiling. Econometrics and statistics 9:1-16.
- 7- Guha, R., Ghosh, M., Chakrabarti, A., Sarkar, R., & Mirjalili, S. (2020). Introducing clustering based population in binary gravitational search algorithm for feature selection. Applied Soft Computing, 93, 106341.
- 8- Härdle, W., Müller, M., Sperlich, S., & Werwatz, A. (2004). Nonparametric and semiparametric models (Vol. 1). Berlin: Springer.
- 9- Lee, Unkyung, 2018 Analysis of generalized semiparametric regression models for cumulative incidence functions with missing covariates—computational statistics & data analysis 122:59-79.
- 10-Micchelli, Charles A, Massimiliano Pontil, and Peter Bartlett 2005 Learning the Kernel Function via Regularization. Journal of machine learning research 6(7).
- 11-Qin, Y., Zhang, S., Zhu, X., Zhang, J. and Zhang, C., 2007. Semi-parametric optimization for missing data imputation. Applied Intelligence, 27(1), pp.79-88.
- 12-Robinson, Peter M 1997 Large-sample inference for nonparametric regression with dependent errors. The Annals of Statistics 25(5):2054-2083.
- 13-Roozbeh, M., Hesamian, G., & Akbari, M. G. (2020). Ridge estimation in semi-parametric regression models under the stochastic restriction and correlated elliptically contoured errors. Journal of Computational and Applied Mathematics, 378, 112940.
- 14-Schramm, Catherine, 2020 KSPM: A Package For Kernel SemiParametric Models. The R Journal 12(2):82-106.
- 15-Sutton, R. S. (2018). Reinforcement learning: An introduction. A Bradford Book.
- 16-Taavoni, M. and Arashi, M., 2021. Kernel estimation in semiparametric mixed effect longitudinal modeling. Statistical Papers, 62(3), pp.1095-1116.
- 17-Zhang, Ting, 2015 Semiparametric model building for regression models with time-varying parameters. Journal of Econometrics 187(1):189-200.